

可以认为阳离子杂质对光纤损耗的影响并不十分重要。应进一步改善晶体生长条件,获得透明度高、散射少的优质晶体,改善压纤工艺和压纤环境,获得表面缺陷少、无沾污的光纤,则 KRS-5 多晶光纤的损耗将会进一步降低。

该课题为 85 年中国科学院基金项目,光纤端面电子显微镜照片为王浩炳同志提供,光纤端面加工由郑连生同志完成。在此表示感谢。

参 考 文 献

- 1 D. A. Pinnov *et al.*, *Appl. Phys. Lett.*, **33** (1),

- 28(1978)
- 2 池戸才,レーザー研究, **11** (11), 834 (1983)
- 3 S. Sakuragi, *Proc. SPIE*, **32**, 2 (1982)
- 4 J. A. Harrington, *Proc. SPIE*, **227**, 133 (1980)
- 5 Y. Mimura *et al.*, *Japan. J. Appl. Phys.*, **19** (5), L269(1980)
- 6 桜木史郎,赤外線技术, (9), 48 (1984)

(收稿日期: 1987 年 8 月 12 日)

用微扰近似理论研究简并四波混频过程中的相位畸变现象

赵明君 李育林

(中国科学院西安光机所)

Study on phase distortion in degenerate four-wave mixing by means of perturbation approximation theory

Zhao Mingjun Li Yulin

(Xian Institute of Optics and Fine Mechanics, Academia Sinica, Xian)

Abstract: A perturbation approximation theory is used for analysis of phase distortion in degenerate four-wave mixing. It is seen from the calculation result that an important way of increasing the readout wave's ratio of signal to noise (s/n) is to reduce the resultant distortion ϕ of other wave's.

一、引 言

近年来,用四波混频过程产生相位共轭越来越受到人们的关注,这是因为该过程能够高效率地获得任意物波的相位复共轭波,从而为光学图像的实时处理^[1-3]开辟了一个新的途径^[4]。但研究中大都认为在非线性介质中,参与混频的各波是理想的平面偏振波。实际上激光源产生的光波并非是完全的平面偏振波,加之,整个光学系统也不理想,不可避免地产生一定的畸变效应。此外在四波混频的实验中,很难保证两束泵浦波理想对准。故导致读出

光波中存在着一一定的畸变(称为背景噪声),它有时很严重,甚至在接收屏上难以分辨信息。

关于这个问题,文献[6]曾作过初步的分析,但是繁琐,物理意义也不明显。本文提出了一种微扰简化的近似模型,讨论了简并四波混频过程中各个入射波的相位畸变(或称噪声)对读出光波的影响,给出了一些有意义的结论。

二、用微扰近似理论处理相位畸变引起的噪声

如图 1 所示, E_1 、 E_2 是一对泵浦波; E_3 是信号

波, 它携带着物体的信息; E_4 是 E_3 的相位复共轭波。我们假设每一波都是带有一定的微小畸变的平面波, 也就是说平面波前受到一定的微扰, 并将其表示为:

$$E_j = e_j \exp[-i(\omega t - \mathbf{k}_j \cdot \mathbf{r} - \delta\phi_j)] \quad (1)$$

$j=1, 2, 3, 4$

式中的相位因子 $\delta\phi_j$ 为波前畸变量。将(1)式改写为,

$$\begin{aligned} E_j &= e_j \exp[-i(\omega t - \mathbf{k}_j \cdot \mathbf{r})] \exp[i\delta\phi_j] \\ &= E_{0j} \exp[i\delta\phi_j] \end{aligned} \quad (2)$$

$j=1, 2, 3, 4$

式中 $E_{0j} = e_j \exp[-i(\omega t - \mathbf{k}_j \cdot \mathbf{r})]$ 为未受扰动的平面波, 如果 $\delta\phi_j$ 满足

$$|\delta\phi_j| \ll 1,$$

(2)式可展开为,

$$E_j \approx E_{0j} + iE_{0j}(\delta\phi_j) = E'_{0j} + E_{0j} \quad (3)$$

其中 $E'_{0j} = iE_{0j}(\delta\phi_j)$ 为微扰项, 将(3)式中的 E_j 代入 Maxwell 方程, 得到

$$[\nabla \times (\nabla \times) - \epsilon\omega^2/c^2] E_j = (4\pi\omega^2/c^2) P_j^{NL} \quad (4)$$

(4)式右端 P_j^{NL} 为非线性极化强度。在四波混频过程中, 重点是读出光波 E_4 , 故取 $j=4$,

$$\begin{aligned} P_4^{NL} &= \chi^{(3)} \epsilon_1 \epsilon_2 \epsilon_3^* \exp[-i(\omega t - \mathbf{k} \cdot \mathbf{r})] \\ &\quad \times \exp[i(\delta\phi_1 + \delta\phi_2 - \delta\phi_3)] \\ &= P_{40}^{NL} \exp[i\phi] \end{aligned} \quad (5)$$

这里 $P_{40}^{NL} = \chi^{(3)} \epsilon_1 \epsilon_2 \epsilon_3^* \exp[-i(\omega t - \mathbf{k} \cdot \mathbf{r})]$
 $\phi = \delta\phi_1 + \delta\phi_2 - \delta\phi_3$

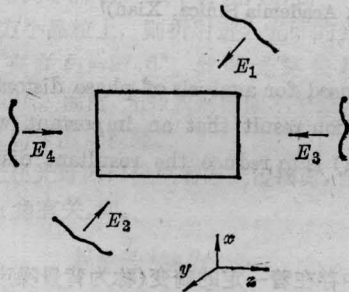


图 1

同样, 总系统要求 ϕ 满足

$$|\phi| \ll 1,$$

则 P_4^{NL} 可展开为,

$$P_4^{NL} \approx P_{40}^{NL}(1 + i\phi) = P_{40}^{NL} + P_{40}'^{NL} \quad (6)$$

(6)式中, $P_{40}'^{NL} = i\phi P_{40}^{NL}$ 是受到微扰扰动时产生的附加非线性极化强度, P_{40}^{NL} 为未受微扰扰动的非线性极化强度。将(3)和(6)代入(4)式, 并且利用微分算符的性质, 同时仅考虑沿 Z 轴分量的情况, 有

$$(\nabla^2 + \epsilon\omega^2/c^2)(E_{04} + E'_{04})$$

$$= -(4\pi\omega^2/c^2)(P_{40}^{NL} + P_{40}'^{NL}) \quad (7)$$

E_{0j} 也满足 Maxwell 方程,

$$(\nabla^2 + \epsilon\omega^2/c^2)E_{04} = -(4\pi\omega^2/c^2)P_{40}^{NL} \quad (8)$$

由(7)~(8)式得到:

$$(\nabla^2 + \epsilon\omega^2/c^2)E'_{04} = -(4\pi\omega^2/c^2)P_{40}'^{NL} \quad (9)$$

(9)式就是由波前畸变引起的附加扰动项 E'_{04} 及 $P_{40}'^{NL}$ 满足的微分方程。

将(3)式的 E'_{04} 及(6)式的 $P_{40}'^{NL}$ 值代入(9), 得

$$\begin{aligned} (\nabla^2 + \epsilon\omega^2/c^2)\{e_4(z) \exp[ikz] \cdot (i\delta\phi_4)\} \\ = -(4\pi\omega^2/c^2)\chi^{(3)} \epsilon_1 \epsilon_2 \epsilon_3^* \exp[ikz] (i\phi) \end{aligned} \quad (10)$$

利用缓慢振幅条件:

$$\left| \frac{\partial^2 e(z)}{\partial z^2} \right| \ll \left| k \frac{\partial e(z)}{\partial z} \right|$$

及恒等式 $k^2 = \epsilon\omega^2/c^2$, 并且忽略畸变扰动的高次项, (10)式变为,

$$\begin{aligned} k \frac{\partial e_4}{\partial z} (i\delta\phi_4) + \left[\frac{\partial e_4}{\partial z} + ik e_4 \right] \frac{\partial \delta\phi_4}{\partial z} \\ = i\omega^2 K \epsilon_1 \epsilon_2 \epsilon_3^* (i\phi) \end{aligned} \quad (11)$$

其中 $K = \left(\frac{2\pi}{c^2} \right) \chi^{(3)}$, 且 $\frac{\partial e_4}{\partial z}$ 是方程(8)的解^[5],

$$\frac{\partial e_4}{\partial z} = (i\omega^2 K / k) \epsilon_1 \epsilon_2 \epsilon_3^*$$

因之方程(11)变为

$$\begin{aligned} \frac{\partial \delta\phi_4}{\partial z} + \left(\frac{i\omega^2 K k \epsilon_1 \epsilon_2 \epsilon_3^*}{k^2 \epsilon_4 + \omega^2 K \epsilon_1 \epsilon_2 \epsilon_3^*} \right) \delta\phi_4 \\ = \left(\frac{i\omega^2 K k \epsilon_1 \epsilon_2 \epsilon_3^*}{k^2 \epsilon_4 + \omega^2 K \epsilon_1 \epsilon_2 \epsilon_3^*} \right) \phi \end{aligned} \quad (12)$$

(12)式可简化为,

$$\frac{\partial \delta\phi_4}{\partial z} + P(z) \delta\phi_4 = P(z) \phi \quad (13)$$

其中 $P(z) = \frac{i\omega^2 K k \epsilon_1 \epsilon_2 \epsilon_3^*}{k^2 \epsilon_4 + \omega^2 K \epsilon_1 \epsilon_2 \epsilon_3^*}$

由(13)式可得到 $\delta\phi_4$ 的表达式为,

$$\delta\phi_4 = e^{-\int P(z) dz} \left[\int P(z) \phi e^{\int P(z) dz} dz + C \right] \quad (14)$$

由(14)式可知, 读出光波的相位畸变 $\delta\phi_4$ (或微扰项)是由泵浦波、信号波的微扰项引起的。这里 C 是积分常量, $\phi = \delta\phi_1 + \delta\phi_2 - \delta\phi_3$ 。

三、讨 论

3.1 微扰理论与一般求解相比较

将(1)公式表示的 E_j 与(5)式中 P_4^{NL} 代入 Maxwell 方程, 利用缓慢振幅条件以及恒等式 $k^2 = \epsilon\omega^2/c^2$, 且忽略高次项, 得到

$$\begin{aligned} \frac{\partial e_4}{\partial z} + \frac{1}{k} \frac{\partial e_4}{\partial z} \frac{\partial \delta\phi_4}{\partial z} + i e_4 \frac{\partial \delta\phi_4}{\partial z} \\ = (i\omega^2/k) K \epsilon_1 \epsilon_2 \epsilon_3^* \exp(i\phi) \cdot \exp[-i\delta\phi_4] \end{aligned} \quad (15)$$

类似(11)式,求解,

$$\frac{\partial \delta \phi_4}{\partial z} + P(z) \delta \phi_4 = \frac{1}{i} P(z) (e^{-i\phi} - 1) \quad (16)$$

(16)式即为一般求解近似条件下,读出光波 $\delta \phi_4$ 所满足的微分方程。如果我们考虑到三个入射波的微扰近似,则(16)式右端 $e^{i\phi} \approx 1 + i\phi$, 这样便得到和(13)式相同的表达式。

3.2 读出波背景噪声的讨论

对于读出的相位复共轭波,由于入射波的畸变效应,使 E_4 也携带着位相畸变因子($i\delta \phi_4$),将 $|\delta \phi_4|$ 称为背景噪声,根据 $E_4 = E_{04} + E'_{04}$,由(3)式得到读出光波的信噪比为 $1/|\delta \phi_4|$ 。

由(14)可看出,提高信噪比的关键是减小 $|\phi|$ 。又因为 $|\phi| = |\delta \phi_1 + \delta \phi_2 - \delta \phi_3|$,即一种方法是对泵浦对、信号波的各个畸变量进行控制,使其减小到最小程度;另一种方法是调整光路系统,使总的 $|\phi|$ 减

小到最小程度,尤其要注意的是合理调整光路,使两泵浦波对准的误差减小和降低畸变之和相等。

本文初稿完成后,蒙何绍宇研究员的审阅。石顺详副教授也审阅了全文并和作者进行过有益讨论。在此一并致谢

参 考 文 献

1. Y. H. Ja, *Opt. Commun.*, **42**, 6 (1982)
2. Y. H. Ja, *Opt. Commun.*, **44**, 1 (1982)
3. N. A. Vainos and R. W. Eason, *Opt. Commun.*, **59**, 3 (1986)
4. V. Markov, S. Odulov and M. Soskn, *Opt. and Laser Tech.*, April, 95(1979)
5. Y. R. Shen, *The Principle of Nonlinear Optics*, (Sohn Wiley and Sons, Inc. New York 1984).
6. N. Chen, *Opt. Commun.*, **59**, 1(1986)

(收稿日期: 1987年9月16日)

测量物理场参量微小变化的光纤全息干涉法

李正直 郭邦俊 朱又迈 田志伟

(杭州大学物理系)

Holographic interferometry through mono-mode optical fibers in minute variation measurement of physical field parameters

Li Zhengzhi, Guo Bangjun, Zhu Youman, Tian Zhiwei
(Department of Physics, Hangzhou University, Hangzhou)

Abstract: We describe a holographic method through fiber optics in which the interference field is formed behind the hologram by the informational wave and the ideal comparative wave.

1. 在物方光纤一臂中放置一张预先拍摄好的全息图,它只携带物方光路中包括光纤在内所有光学元件的信息。以该全息图的重现物波作为测量用的理想比较波,当物方光纤中一部分置于被测物理场内时,被测物理场参量的变化将反映在该光纤出射的光波中,称它为信息物波。信息波和理想比较波在全息图后形成干涉场,它把反映被测物理场参量变化的信息转变成干涉场的条纹移动。通过对干涉场的条纹移动进行测量,就可以提取出被测物理场参量变化的信息。

这里以温度场为对象,阐述这种方法的原理,并通过实验探讨了该方法的特点。

2. 单色光在光纤中传播时,它的位相 ϕ 取决于制造光纤纤芯材料的折射率 n 和光纤长度 $L^{[1,2]}$ 。略掉光纤直径和光的入射角变化所产生的影响,它可由下式表示:

$$\phi(T) = \frac{2\pi}{\lambda} L \cdot n \quad (1)$$

式中 λ 是单色光的波长, T 是光纤所在温度场的温度值。当温度变化 ΔT 时,光束的相位变化 $\Delta \phi$ 为